

А.А. Курсков, Н.В. Кузьмина

## НОВАЯ МЕТОДИКА ЧИСЛЕННОГО ИНТЕГРИРОВАНИЯ ФУНКЦИЙ ПРОПУСКАНИЯ МОЛЕКУЛЯРНЫХ ГАЗОВ

Анализируются причины нетрадиционного поведения погрешности численного интегрирования при прямом расчете функций пропускания и излучения атмосферных газов в ИК-диапазоне. Описана методика численного интегрирования, позволяющая сформулировать надежный критерий окончания счета в подобных задачах.

Достигнутое в последние годы увеличение точности расчета параметров спектральных линий колебательно-вращательных полос многих молекул [1] позволило использовать прямое численное интегрирование при вычислении функций пропускания и излучения молекулярных газов. При этом большое значение приобретает выбор оптимальной методики и шага частотного интегрирования, обеспечивающего заданную точность. Допустимый уровень погрешности интегрирования спектральных функций связан с качеством исходной спектральной информации, т.е. с погрешностью расчета параметров спектральных линий и неточностью описания формы контура. Поэтому на практике при расчете функций пропускания не имеет смысла добиваться точности численного интегрирования существенно выше 1%. Однако, как отмечалось в ряде работ [2, 3], во многих практических случаях в этом диапазоне точности погрешность численного интегрирования имеет нетрадиционное поведение. Это приводит к неприменимости стандартных методов контроля точности, необходимости теоретического анализа погрешности численного интегрирования в подобных задачах, а также выработке новых критериев окончания счета.

Особенности численного интегрирования спектральных характеристик молекулярных газов в ИК-диапазоне исследовались на примере функций пропускания

$$T = \frac{1}{\Delta\nu} \int_{\nu_0 - \frac{\Delta\nu}{2}}^{\nu_0 + \frac{\Delta\nu}{2}} T(\nu) d\nu, \quad (1)$$

где  $\nu_0$  — центр спектрального интервала,  $\text{см}^{-1}$ ;  $\Delta\nu$  — ширина интервала, пропускание  $T(\nu)$  определяется стандартным образом

$$T(\nu) = \exp\left(-u \sum_{i=1}^M S_i f_i(\nu)\right), \quad (2)$$

где  $S_i$  — интенсивность;  $f_i$  — контур  $i$ -й спектральной линии;  $M$  — число линий, которые необходимо учитывать в интервале  $\Delta\nu$ ;  $u$  — поглощающая масса молекулярного газа. (Необходимые параметры спектральных линий были взяты из атласа [4]). Необычное поведение погрешности при численном интегрировании  $T(\nu)$  обусловлено специфическим, быстроосциллирующим характером подынтегральной функции (см. рис. 1). При интегрировании подобных функций оказывается недопустимой общепринятая оценка погрешности по формуле Рунге [5]:

$$\varepsilon(h) = \frac{S(h) - S(2h)}{2^P - 1} + O(h^{P+1}), \quad (3)$$

где  $S(h)$  — интегральная сумма с шагом  $h$ ;  $P$  — степень аппроксимационного полинома (для формулы трапеций  $P$  равно 2, для формулы Симпсона — 4 и т.д.). Поэтому при исследовании характера погрешности лучше воспользоваться ее точным выражением.

Известно [6], что погрешность численного интегрирования  $T(\nu)$  по формуле трапеций с шагом  $h = (b - a)/N$  на отрезке интегрирования  $(a, b)$  описывается формулой Эйлера — Маклорена:

$$e(h) = \sum_{r=1}^L \frac{B_{2r} h^{2r}}{(2r)!} [T^{(2r-1)}(b) - T^{(2r-1)}(a)] + \sum_{m=0}^{N-1} \int_m^{m+1} P_{L+1}(\theta - m) T^{(2L+1)}(a + \theta h) d\theta, \quad (4)$$

где  $B_r, P_r(x)$  — числа и полиномы Бернулли;  $T^{(r)}(\nu)$  —  $r$ -я производная функции  $T(\nu)$ . Выражение (4) является точным, при любом  $L$ , поэтому число членов в сумме может быть выбрано произвольным. При  $L \rightarrow \infty$  в пренебрежении интегральным членом формула (4) переходит в асимптотический ряд по степеням  $h^2$ ; коэффициентами при  $h^{2r}$  являются значения производных  $T^{(2r-1)}(\nu)$  на концах интервала интегрирования. В частности, член наименьшего порядка в (4) пропорционален  $h^2$

$$e(h) \approx \frac{h^2}{12} [T'(b) - T'(a)]. \quad (5)$$

В других схемах численного интегрирования часть младших членов ряда (4) отсутствует. Например, в интегральной сумме по формуле Симпсона, которую можно выразить через интегральные суммы по формуле трапеций  $S_{\text{тр}}(h)$ ,

$$S_{\text{сим}}(h) = \frac{4}{3} S_{\text{тр}}(h) - \frac{1}{3} S_{\text{тр}}(2h) \quad (6)$$

компенсируются члены, пропорциональные  $h^2$ , и разложение погрешности начинается с  $h^4$ . Данное обстоятельство лежит в основе общепринятой оценки (3).

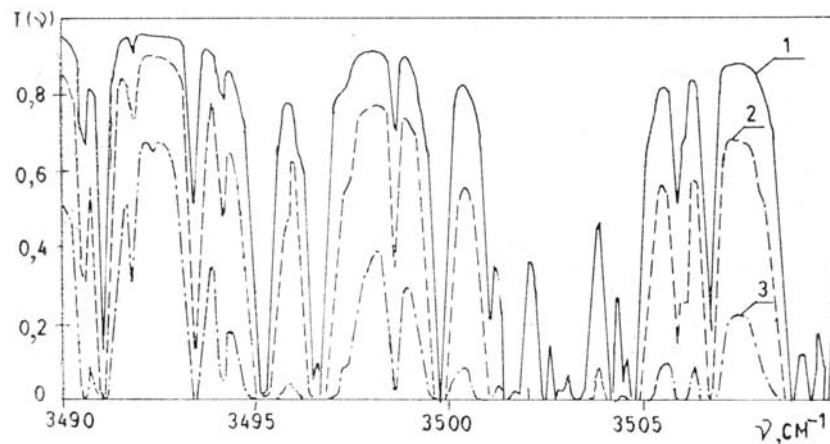


Рис. 1. Спектральное пропускание  $T(\nu)$  атмосферного водяного пара для поглощающих масс 50 (1), 150 (2) и 600 (3) атм · см

Однако при оценке погрешности численного интегрирования быст-роосциллирующей функции  $T(\nu)$  недостаточно учитывать младшие члены асимптотического ряда (4), так как основной вклад в  $e(h)$  дает интегральный член формулы (4). В этом случае для оценки  $e(h)$  можно разложить спектральное пропускание на интервале  $\Delta\nu$  в ряд Фурье и вычислить интегральную сумму по формуле трапеций для каждого члена ряда. В результате получим представление погрешности интегрирования в следующем виде:

$$e(h) = 2 \sum_{\kappa=1}^{\infty} \int_a^b T(\nu) \cos \frac{2\pi\kappa}{h} (\nu - a) d\nu. \quad (7)$$

Выражение (7) является аналогом известной формулы Пуассона [7]. Формула Эйлера—Маклорена (4) получается из (7) путем последовательного интегрирования по частям и суммирования по  $k$ .

Формулу (7) нетрудно преобразовать в удобный для оценки погрешности численного интегрирования вид:

$$e(h) = 2 \sum_{\kappa=1}^{\infty} \int_{-\infty}^{\infty} T(\nu) \cos \frac{2\pi\kappa}{h} (\nu - a) d\nu - 2 \sum_{\kappa=1}^{\infty} \int_0^{\infty} [T(\nu + b) - T(a - \nu)] \cos \frac{2\pi\kappa}{h} \nu d\nu. \quad (8)$$

Слагаемые в (8) имеют различные асимптотики при  $h \rightarrow 0$ . Согласно теореме об асимптотическом поведении интеграла Фурье от гладких функций [8], второй член в (8) разлагается в асимптотический ряд по степеням  $h^2$ , совпадающий с асимптотическим разложением ряда в (4). Данная часть погрешности соответствует общепринятым оценкам (3), (5) и ее предлагаем называть «граничной» —  $e_{\text{тр}}(h)$ . Следовательно, первую сумму в (8) можно рассматривать как оценку интегрального члена в (4) и

называть ее «внутренней» частью погрешности, так как она характеризует степень осцилляции  $T(v)$  на отрезке интегрирования  $(a, b)$ . Чтобы проанализировать асимптотическое поведение  $e_{\text{вн}}(h)$ , представим  $T(v)$  в виде суперпозиции элементарных спектральных компонент:

$$T(v) = \sum_q T_q(v - v_q), \quad (9)$$

где  $v_q$  — положение центра  $q$ -й компоненты;  $\Gamma_q$  — ее характерная ширина (аналог полуширины лоренцовского контура). В случае малых поглощающих масс в (2) такое представление очевидно:  $T(v) \approx 1 - \sum_{i=1}^M (1 - \exp(-us_i f_i))$ , но в общем случае точное выражение для  $T_q$  будет иметь сложный математический вид. Как видно из рис. 1, возможность точного представления (9) следует из общего характера  $T(v)$  и не представляет сомнений. Таким образом, из формул (8) и (9) следует, что

$$e_{\text{вн}}(h) = \sum_{\kappa=1}^{\infty} C_{\kappa}, \quad (10)$$

где

$$C_{\kappa} = 2 \operatorname{Re} \sum_q T_{q\kappa} \exp \left[ i \frac{2\pi\kappa}{h} (v_q - a) \right], \quad (11)$$

где

$$T_{q\kappa} = \int_{-\infty}^{\infty} T_q(v) \exp \left[ i \frac{2\pi\kappa}{h} v \right] dv \quad (12)$$

Здесь

— интеграл Фурье от функции  $T_q(v)$ . Согласно [8] при  $h \rightarrow 0$  интегралы  $T_{q\kappa}$ , а следовательно, и  $e_{\text{вн}}(h)$  экспоненциально малы и  $e_{\text{вн}}(h) \ll e(h)$ . Однако на данном шаге  $h$  экспоненциальная малость  $T_{q\kappa}$  по параметру  $\Gamma_q \kappa/h$  будет иметь место лишь для относительно «широких» компонент, у которых  $\Gamma_q > h/k$ . Следовательно, можно ожидать, что пренебрежение  $e_{\text{вн}}(h)$  при оценке погрешности численного интегрирования оправдано лишь в том случае, когда величина шага  $h$  гораздо меньше ширины всех спектральных компонент; при этом справедлива общепринятая оценка погрешности (3). Однако во многих типичных случаях разумная с практической точки зрения точность интегрирования  $e(h) \approx 1\%$  достигается при гораздо больших шагах, когда вклад  $e_{\text{вн}}(h)$  в погрешность является доминирующим.

Если для всех спектральных компонент выполняется условие  $\Gamma_q \gg h$ , то интегралы Фурье  $T_{q\kappa}$  экспоненциально быстро уменьшаются с ростом  $k$ . Если условие  $\Gamma_q \gg h$  выполняется не для всех спектральных компонент, то с ростом  $k$  число компонент, для которых  $\Gamma_q < h/k$ , будет уменьшаться, поэтому следует ожидать тенденции к уменьшению коэффициентов  $C_{\kappa}$  в (10), (11) с увеличением  $k$ . Следовательно, (10)–(12) можно считать разложением «внутренней» части погрешности  $e(h)$ .

Ниже показано, что при  $e(h) \approx 1\%$  нетрадиционное поведение погрешности соответствует ситуации, когда  $e(h)$  определяется  $e_{\text{вн}}(h)$ .

**Малая эффективность квадратурных формул высших порядков** обусловлена быстрым ростом  $e_{\text{вн}}(h)$  при увеличении шага  $h$ . Например, в интегральной сумме по формуле Симпсона (6) фактически используются две сетки: с шагом  $h$  и  $2h$ . Поскольку компенсация  $e_{\text{вн}}(h)$  и  $e_{\text{вн}}(2h)$  в (6) отсутствует и, как правило,  $|e_{\text{вн}}(2h)| \gg |e_{\text{вн}}(h)|$ , формула Симпсона может иметь худшую точность, чем формула трапеций. Аналогичная ситуация имеет место при использовании квадратурных формул высших порядков.

**Осциллирующий характер зависимости  $e(h)$**  определяется фазовыми множителями в формуле (11). Переходя к безразмерной частоте  $v_q = a + (b - a)t_q$ , где  $0 \leq t_q \leq 1$ , можно представить (11) в виде

$$C_{\kappa} = 2 \operatorname{Re} \sum_q T_{q\kappa} \exp(i2\pi\kappa N t_q). \quad (13)$$

Как следует из (13), незначительное изменение числа узлов в сетке интегрирования  $N$  должно приводить к существенному изменению весовых множителей, с которыми суммируются  $T_{q\kappa}$  в (13), и, следовательно, к заметному изменению погрешности интегрирования.

**Периодичность погрешности при сдвиге границ интегрирования** (см. рис. 2) также обусловлена наличием фазовых множителей. Как следует из формул (10)–(12), при сдвиге отрезка ин-

тегрирования на долю шага  $gh(a, b) \rightarrow (a + gh, b + gh)$ ; фаза ( $g < 1$ ) коэффициента  $C_k$  увеличивается на  $2\pi kg$ . Следовательно,  $e_{\text{вн}}(h)$  является непрерывной периодической (с периодом  $h$ ) функцией от величины сдвига границ отрезка интегрирования. При достаточно малых шагах, когда коэффициенты  $C_k$  быстро убывают, эта периодическая функция близка к синусоиде, что можно использовать для оценки  $e_{\text{вн}}(h)$ .

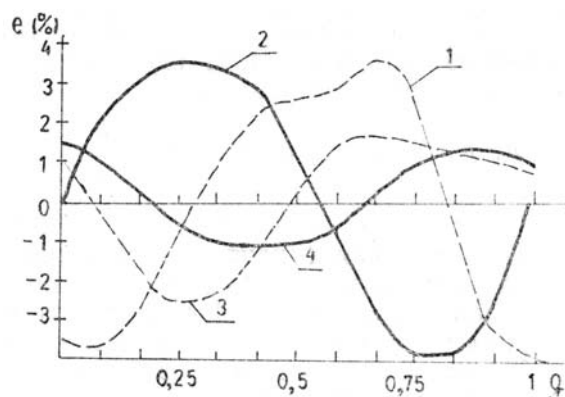


Рис. 2. Зависимость относительной погрешности интегрирования  $e$  по формуле трапеций от сдвига границ отрезка интегрирования на долю шага  $g$  для шага  $0,5 \text{ см}^{-1}$ :  $u = 1 \text{ атм} \cdot \text{см}$  (1),  $u = 10 \text{ атм} \cdot \text{см}$  (2); для шага  $0,4 \text{ см}^{-1}$ :  $u = 1 \text{ атм} \cdot \text{см}$  (3),  $u = 10 \text{ атм} \cdot \text{см}$  (4)

Нетрадиционный характер поведения погрешности в практически важной области  $e \approx 1\%$  приводит к необходимости соответствующей модификации методов контроля точности численного интегрирования. К сожалению, в случаях, когда погрешность определяется  $e_{\text{вн}}(h)$  невозможно получить простые оценки  $e(h)$  в виде, подобном формуле (6). Согласно формулам (8, 10),  $e_{\text{вн}}\left(\frac{h}{2}\right) = C_2 + C_4 + \dots$ , а  $S(h) - S\left(\frac{h}{2}\right) = C_1 + C_3 + C_5 + \dots$ . Таким образом, с учетом тенденции к убыванию коэффициентов  $C_k$  с ростом  $k$  разность  $S(h) - S\left(\frac{h}{2}\right)$  можно использовать в качестве оценки погрешности интегрирования  $e(h)$  с „грубым” шагом. Однако, используя  $S(h) - S\left(\frac{h}{2}\right)$  невозможно определить погрешность интегрирования с текущим „мелким” шагом  $\left(\frac{h}{2}\right) - e\left(\frac{h}{2}\right)$  поскольку члены разложения (11) не связаны друг с другом простыми соотношениями. Кроме того, следует отметить, что, несмотря на убывание интегралов  $T_{qk}$  (12) с ростом  $k$ , наличие фазовых множителей в (11) приводит к отклонениям от монотонности убывания коэффициентов  $C_k$ . В этом случае из малости разности  $S(h) - S\left(\frac{h}{2}\right)$  не следует соответствующей малости погрешности  $e\left(\frac{h}{2}\right)$ .

Таким образом, для выработки более надежного критерия окончания счета желательно получить оценку сверху для величины  $e(h)$ . С этой целью можно использовать отмеченное выше периодическое изменение  $e_{\text{вн}}(h)$  при небольшом сдвиге пределов интегрирования  $(a, b) \rightarrow (a + gh, b + gh)$ ,  $g < 1$ . Вычислив интегральные суммы  $S(h, g)$  для нескольких значений сдвига  $g$ , можно оценить амплитуду изменения  $S(h, g)$ , которая является оценкой сверху для  $e_{\text{вн}}(h)$ . Однако подобная оценка весьма трудоемка: объем вычислений пропорционален количеству интегральных сумм  $S(h, g)$ . Простейшую оценку амплитуды погрешности можно получить, аппроксимируя вклад  $e_{\text{вн}}(h)$  в зависимость  $S(h, g)$  от  $g$  единственной синусоидой [т.е. ограничиваясь первым членом разложения  $e_{\text{вн}}(h)$  в (10)] и учитывая вклад  $e_{\text{гр}}(h)$  с помощью младшего члена (5). Тогда для  $S(h, g)$  получим следующее приближенное выражение:

$$S(h, g) \approx I(a + gh; b + gh) + \frac{h^2}{12} [T'(b + gh) - T'(a + gh)] + |C_1| \cos(\Phi + 2\pi g), \quad (14)$$

где  $|C_1|$  — искомая амплитуда изменения  $e_{\text{вн}}(h)$ ;  $\Phi$  — неизвестная фаза первого члена разложения (10) при  $g = 0$ , т.е. для исходного отрезка интегрирования  $(a, b)$ . В формулу (14) входят значения интеграла  $I$  и краевые значения производных для сдвинутого отрезка интегрирования. Однако периодическая зависимость  $e_{\text{вн}}(h)$  от  $g$ , которая аппроксимируется последним членом формулы (14), обусловлена не собственно сдвигом пределов интегрирования, а изменением взаимного положения узлов сетки интегрирования и центров внутренних спектральных компонент на отрезке  $\Delta u$ . Поэтому  $e_{\text{вн}}(h)$  не изменится, если сдвинуть на  $gh$  лишь внутренние узлы сетки при неизменных пределах ин-

тегрирования  $(a, b)$ . При этом на краях отрезка  $(a, b)$  однородность сетки нарушается и  $S(h, g)$  принимает следующий вид:

$$S(h, g) = h \left[ \frac{g}{2} T(a) + \frac{g+1}{2} T(a+gh) + T(a+gh+h) + \dots \right. \\ \left. + \frac{2-g}{2} T(b-h+gh) + \frac{1-g}{2} T(b) \right], \text{ для } 0 > g; \quad (15)$$

$$S(h, g) = h \left[ \frac{1-g}{2} T(a) + \frac{2-g}{2} T(a+h+gh) + T(a+gh+2h) + \dots \right. \\ \left. + \frac{g+1}{2} T(b+gh) + \frac{g}{2} T(b) \right], \text{ для } g < 0.$$

С точностью до членов высшего порядка по  $h$  в формуле (14) полагаем

$$I(a+gh, b+gh) = I(a, b); T'(a+gh) = T'(a); T'(b+gh) = T'(b).$$

Таким образом, формула (14) содержит три неизвестных параметра:  $[I(a, b) + h^2/12 (T'(b) - T'(a))]$ ,  $C_1$  и  $\Phi$ , для нахождения которых необходимо решить систему трех уравнений (14) для трех значений  $g$ . Следовательно, для нахождения  $|C_1|$  необходимо выполнить объем вычислений, достаточный для расчета интегральной суммы  $S(h/3)$  с шагом  $h/3$ . В связи с этим для решения системы уравнений (14) целесообразно выбрать  $g = 0$  и  $g = \pm 1/3$ , что позволяет одновременно с расчетом  $|C_1|$  вычислить  $S(h/3)$ . В этом случае

$$|C_1|^2 = \frac{1}{9} \left[ 2S(h, 0) - S\left(h, -\frac{1}{3}\right) - S\left(h, \frac{1}{3}\right) \right]^2 + \frac{1}{3} \left[ S\left(h, -\frac{1}{3}\right) - S\left(h, \frac{1}{3}\right) \right]^2; \quad (16)$$

$$S\left(\frac{h}{3}\right) = \frac{1}{3} \left[ S(h, 0) + S\left(h, -\frac{1}{3}\right) + S\left(h, \frac{1}{3}\right) \right] + \frac{h}{3} \frac{1}{\Delta\nu} \left[ -\frac{1}{2} T(a) - \right. \\ \left. - \frac{1}{2} T(b) + \frac{1}{3} T\left(a + \frac{h}{3}\right) + \frac{1}{6} T\left(a + \frac{2h}{3}\right) + \frac{1}{6} T\left(b - \frac{2h}{3}\right) + \frac{1}{3} T\left(b - \frac{h}{3}\right) \right]. \quad (17)$$

Предложенный способ оценки погрешности интегрирования по формуле трапеций позволяет сформулировать новую методику численного интегрирования спектральных функций в ИК-диапазоне. Интегрирование выполняется в следующей последовательности:

1. Делим шаг интегрирования  $h$  пополам до тех пор, пока не выполнится условие

$$\max\{|C_1|, \varepsilon\} < \delta, \quad (18)$$

где  $|C_1|$  определяется выражением (16) и соответствует амплитуде  $e_{\text{вн}}(h)$ ;  $\varepsilon$  — общепринятая оценка погрешности по формуле (3);  $\delta$  — наперед заданная допустимая погрешность интегрирования. Формула (18) обобщает стандартный критерий окончания счета на случай, когда погрешность интегрирования определяется  $e_{\text{вн}}(h)$ .

2. Предполагаем, что из условия (18) следует справедливость  $|e(h/3)| < \delta$ , и за точное значение интеграла принимаем сумму  $S(0, h/3)$  (17).

Нетрудно показать, что убывание  $|C_1|$  с шагом интегрирования  $h$  также не является монотонным, поэтому из  $|C_1| < \delta$  не следует строгого выполнения  $|e(h/3)| < \delta$ . Таким образом, предлагаемый критерий окончания счета носит вероятностный характер, однако является гораздо более надежным, чем общепринятый критерий (3).

Вероятность невыполнения условия  $|e(h/3)| \leq |C_1|$  можно определить на примере распределения величин  $d = |C_1| / |e(h/3)|$  для спектрального интервала ( $\nu_0 = 3650 \text{ см}^{-1}$ ,  $\Delta\nu = 20 \text{ см}^{-1}$ ). Результаты вычислений отношений  $d$  для 100 значений шага интегрирования  $h = \frac{\Delta\nu}{N}$ ,  $N = \overline{20,119}$  приведены в виде гистограмм на рис. 3. Данное распределение можно сравнить с распределением отношения  $\left| \frac{S(h/2) - S(h)}{e(h/2)} \right|$ , вычисленного для тех же функций и шагов и используемого в общепринятой оценке

погрешности для формулы трапеций. Последнее изображено на рис. 3 пунктиром. Как следует из рис. 3, предлагаемый критерий окончания счета является более надежным, чем общепринятый, и обеспечивает заданную точность интегрирования  $|e(h/3)| < \delta$  в 99 % случаев.

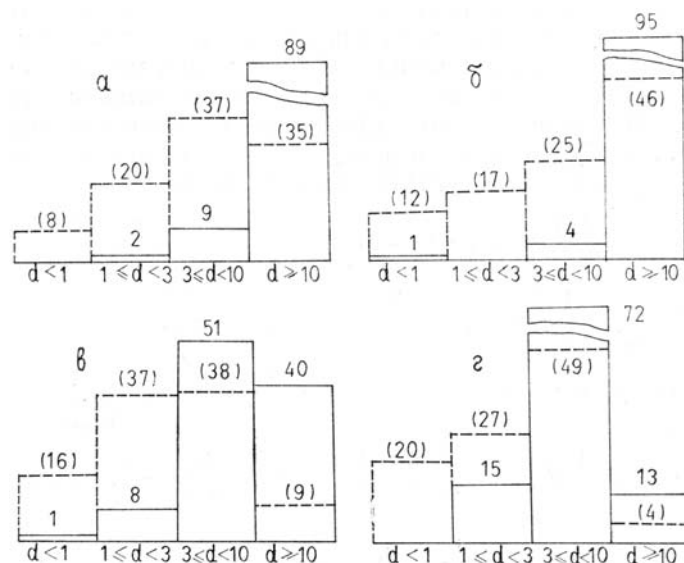


Рис. 3. Распределение отношений  $d$  для 100 последовательных значений числа узлов в сетке интегрирования: (а)  $u = 1$  атм · см; (б)  $u = 10$  атм · см; (в)  $u = 30$  атм · см; (г)  $u = 40$  атм · см

1. Зуев В.Е., Макушкин Ю.С., Пономарев Ю.Н. Спектроскопия атмосферы. — Л.: Гидрометеоздат, 1987. — 248 с.
2. Фомин Б.А., Кузьмин И.И. и др. Быстрый полинейный метод расчета поглощения ИК-излучения в газах. — М., 1984. — 6 с. (Препринт/Ин-т атомной энергии, № 4070/1).
3. Блаховская Т.В., Галин В.Я., Мицель А.А. Программа вычисления характеристик прозрачности, обусловленных потерями на поглощение атмосферными газами. — Изв. вузов. Физика, 1981, № 6. Рукопись деп. в ВИНТИ, рег. № 2137—81.
4. McClatchey R.A., Benedict W.S., Clough S.A. AFCRL Atmospheric Absorption Line Parameters Compilation. — Air Force Cambridge Research Laboratories Report AFCRL—TR—73—0096, 1973, ERP N 434.
5. Калиткин Н.Н. Численные методы. — М.: Наука, 1978. — 512 с.
6. Джеффрис Г., Свирлс Б. Методы математической физики. Вып. 2. — М.: Мир, 1970. — 352 с.
7. Евграфов М.А. Асимптотические оценки и целые функции. — М.: Наука, 1979. — 320 с.
8. Олвер Ф. Введение в асимптотические методы и специальные функции. — М.: Наука, 1978. — 376 с.

Институт физики  
АН БССР, Минск

Поступила в редакцию  
13 апреля 1988 г.

**A.A. Kurskov, N.V. Kuzmina. A New Procedure for Numerical Integration of Molecular Gas Transmittance and Emission Functions.**

The reasons for non-trivial behaviour of numerical integration error in the line-by-line computation of atmospheric gas average transmittance and emission in the IR are examined. An adaptive numerical integration technique is reported that allows a reliable computation termination criterion to be formulated.